

九州産業大学 工学部 正会員 石堂 植
 同上 同上 同上 永吉 守
 同上 同上 学生員 O高橋 二郎
 同上 同上 同上 由元 一也

1. まえがき

砂は粒子の形状等により最大、最小間隙比が異なり、間隙比だけで詰まり方の程度を扱うことは問題がある。そこで、相対密度で砂の詰まり方を規定し、せん断強さにどのように影響するかを調べ、内部摩擦角、変形係数を相対密度を変数とする一般式としてとらえた。また、粒子形状の違いによる砂の三軸圧縮特性を比較検討したものである。

2. 試料および試験方法

試料は豊浦標準砂、相馬砂、碎砂（福岡県遠賀郡産の安山岩）の3種類を使用し、内径5.0 cm、高さ12.0 cmのふたつ割りモールドに所定の相対密度になるよう詰め、乾燥状態と飽和状態で圧密排水（気）試験を行なった。側圧は、0.5

(49)、1.0 (98)、1.5 (147)、2.0 (196) kgf/cm^2

(KPa)の4段階で、軸ひずみ速度は $1\%/\text{min}$ とし、きりピークがみられるか、軸ひずみが15%に達するまで圧縮した。試料の諸数値を表-1に示す。

3. 試験結果および考察

3.1 破壊ひずみ

図-1は、相馬砂と碎砂の破壊時の軸ひずみ ϵ_b と相対密度 D_r の関係を示したものである。碎砂において、相対密度が大きくなると破壊ひずみが小さくなる傾向が明確に現われている。また相馬砂と碎砂では、破壊ひずみに大きな違いがみられ、相馬砂の破壊ひずみは比較的小さいのに對し、碎砂はかなり大きい。このことは、豊浦砂と碎砂においても同様の傾向が言える。これは試料の粒子形状に起因するものと考えられる。せん断に伴って破壊面の粒子が移動する際に、豊浦砂や相馬砂のような比較的丸い粒子の砂は、粒子移動しやすいか、碎砂のような角ばった粒子の砂は、粒子同志のひっかかりによって移動しにくいために破壊ひずみが大きくなつたものと考えられる。

3.2 内部摩擦角

図-2は、内部摩擦角 ϕ と相対密度 D_r の関係を示したものである。砂の種類によつて多少の差はあるが、相対密度の増加に伴つて ϕ は大きくなつており、

表-1 試料の諸数値

	G_s	D_{max}	D_{so}	C_u	e_{max}	e_{min}
豊浦砂	2.641	0.840	0.216	1.59	0.986	0.611
相馬砂	2.634	2.000	0.700	1.35	0.922	0.568
碎砂	2.766	4.760	0.830	8.30	1.077	0.542

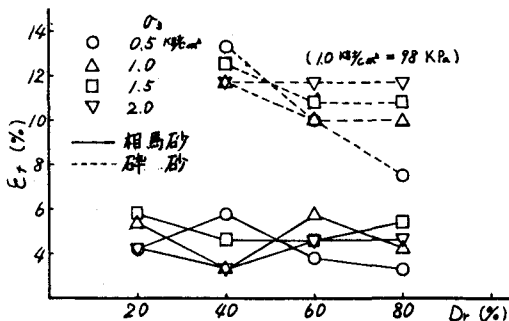


図-1 破壊時の軸ひずみ

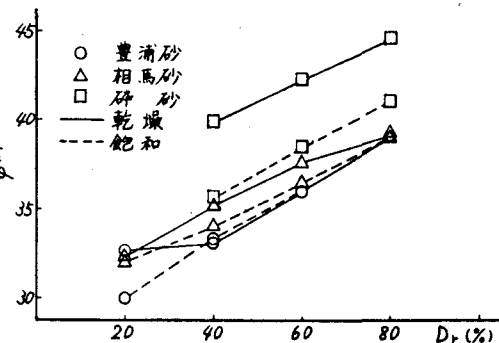


図-2 内部摩擦角

$\phi = \alpha \cdot D_r + b$ という直線式で表わすことができる。各試料の係数。

a, b は、表-2に示す通りである。この結果は Meyerhof の関係式 $\phi = 0.15 \cdot D_r + (25^\circ \sim 30^\circ)$ とはほぼ同様の値を示している。しかし碎砂は、 $b = 35.1^\circ$ と b の値が 5° 程度大きくなっている。これは、

Meyerhof の式は自然の堆積砂のものであるのに対し、碎砂は人工的に作られたもので一般的の砂に比べ角ばりが大きいために、インターロッキング効果が大きくなつたためと思われる。

次に乾燥状態と飽和状態を比較してみると、豊浦砂と相馬砂はほとんど変化はみられないが、碎砂は飽和状態での内部摩擦角が $5^\circ \sim 5^\circ$ 小さくなっている。このことは豊浦砂や相馬砂は水分の影響をあまり受けないが、碎砂は水分の影響が大きいことを示している。これは豊浦砂や相馬砂のような丸い粒子の砂は、接触面積や接点数が少なくかみ合せ抵抗が小さいため水分の影響がさほど大きくなないので対し、角ばった砂はインターロッキング効果が大きく、これが水分による潤滑作用を受けて大きなずれの低下を招くものと考えられる。

3.3 変形係数

図-3は、両対数グラフの横軸に側圧、縦軸に変形係数 E_{50} をプロットしたものである。相対密度と側圧に比例して変形係数 E_{50} が大きくなっている。このことから密度が大きくなるに従い、また側圧が大きくなるほど最大主応力差が大きくなり、応力-ひずみ曲線の立ちあがりが急になることを示している。次に相対密度ごとにみるとほぼ平行な $E_{50} = K_m \cdot D_r^{\alpha}$ という直線であらわすことができる。 α の値はどの相対密度においても近似した数値を示すが、 K_m は相対密度の増加に伴って大きくなっている。 $K_m = \alpha \cdot D_r + \beta$ という関係がみられる。したがって変形係数は、 $E_{50} = (\alpha \cdot D_r + \beta) \cdot D_r^{\alpha}$ という D_r と D_{50} の関数であらわすことができる。 (D_r, E_{50}) による式) 各試料の α, β, n を表-3に示す。表より、これはどの試料においても近似した値を示しているが、 α, β にはかなりの違いがみられる。碎砂は他の砂に比べ、かなり小さな値を示している。これは図-1に示すように碎砂は他の砂よりも破壊ひずみが大きく、応力-ひずみ曲線の立ちあがりが緩やかなためである。

4. あとがき

本実験において、相対密度だけで種類の異なる砂の破壊ひずみ、内部摩擦角、変形係数を同様に扱うことは不適当で、粒子の形状がこれらに及ぼす影響はかなり大きいことがわかった。また変形係数は $E_{50} = (\alpha \cdot D_r + \beta) \cdot D_r^{\alpha}$ の式で表わすことができ、これらの関係式は数値計算等に利用するのに便利である。

(参考文献)

最上武雄編：土質力学 土質工学会：砂の相対密度と工学的性質に関するシンポジウム発表論文集。

前原慶三：碎砂のセン断に関する基礎的研究

表-2 各試料の係数

	a	b
豊浦砂	乾燥状態	0.148
	飽和状態	0.149
相馬砂	乾燥状態	0.114
	飽和状態	0.117
碎砂	乾燥状態	0.118
	飽和状態	0.135

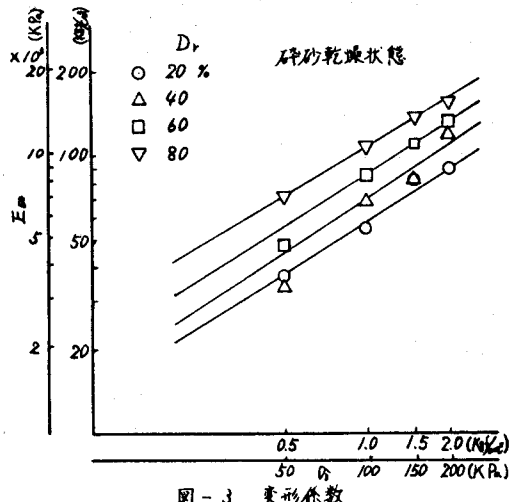


図-3 碎砂乾燥状態

表-3 各試料の係数

	α	β	n
豊浦砂	乾燥状態	8.98	-86.17
	飽和状態	4.72	185.13
相馬砂	乾燥状態	4.43	281.76
	飽和状態	2.74	370.10
碎砂	乾燥状態	0.83	39.05
	飽和状態	0.39	36.18